

## Nano ve Mikro Yapıdaki $(\text{Bi}_2\text{O}_3)_{1-x-y}(\text{Sm}_2\text{O}_3)_x(\text{Ho}_2\text{O}_3)_y$ Elektrolit Sistemlerinin Katı Oksit Yakıt Pili için Sentezlenmesi ve Faz Kararlılığı, Elektriksel ve Termal Özelliklerinin İncelenmesi ve Karşılaştırılması

Yasin POLAT<sup>\*1</sup>

<sup>1</sup>Erciyes Üniversitesi, Fen Bilimleri Enstitüsü, Fizik Anabilim Dalı, 38039, Kayseri

(Alınış / Received: 27.02.2017, Kabul / Accepted: 26.04.2017, Online Yayınlanması / Published Online: 10.05.2017)

### Anahtar Kelimeler

Katı hal reaksiyon metodu,  
Katı oksit yakıt pili (KOYP),  
Katı seramik elektrolit,  
Elektriksel iletkenlik,  
Aktivasyon enerjisi

**Özet:** Bu çalışmada  $\text{Bi}_2\text{O}_3$  tabanlı üçlü sistem örnek materyalleri katı hal reaksiyonu metodu ile her biri ısıl işleme tabi tutularak nano ve mikro yapıda sentezlenmiştir. Katı oksit yakıt pili (KOYP) için üretilen bu katı seramik elektrolitlerin yapısal özellikleri X-Işınları Difraktometresi (XRD), Diferansiyel Termal Analiz - Termo ağırlık ölçer (DTA - TG) ile karakterize edilmiştir. Üretilen katı seramik elektrolitlerin yüzey özellikleri Taramalı Elektron Mikroskopu (SEM) ile incelenmiştir. Elektriksel özellikleri ise dört nokta elektriksel iletkenlik yöntemi yoluyla karakterize edilmiştir. XRD ölçümleri sonuçları, nano ve mikro  $(\text{Bi}_2\text{O}_3)_{1-x-y}(\text{Sm}_2\text{O}_3)_x(\text{Ho}_2\text{O}_3)_y$  ( $x=10, 15, y=5, 20$ ) örneklerinin  $\delta$ -fazlı yüzey merkezli kübik kristalografik yapıda olduğunu göstermiştir. Faz kararlılığı DTA ölçümleri ile yine kontrol ve karşılaştırılması yapılarak çoğu örneğin  $\text{Bi}_2\text{O}_3$  un kararlı  $\delta$ -fazına sahip olduğu gösterilmiştir. Sıcaklığa bağlı elektriksel iyonik iletkenlik ölçümleri sonucunda en yüksek elektriksel iletkenlik nano- $(\text{Bi}_2\text{O}_3)_{0.65}(\text{Sm}_2\text{O}_3)_{0.15}(\text{Ho}_2\text{O}_3)_{0.20}$  sistemi için  $700^\circ\text{C}$  de  $5.78 \times 10^{-2}$  ( $\Omega \cdot \text{cm}$ )<sup>-1</sup> dir ve mikro- $(\text{Bi}_2\text{O}_3)_{0.70}(\text{Sm}_2\text{O}_3)_{0.10}(\text{Ho}_2\text{O}_3)_{0.20}$  sistemi için  $700^\circ\text{C}$  de  $7.40 \times 10^{-3}$  ( $\Omega \cdot \text{cm}$ )<sup>-1</sup> dir. Aktivasyon enerjileri ise elektriksel iletkenlik ölçüm sonuçlarından elde edilerek nano boyutlu örnekler için 1,21 eV'tan 0,49 eV'a ve mikro boyutlu örnekler için 1,51 eV'tan 0,90 eV'a kadar değişmektedir. Çalışmada sentezi gerçekleştirilen katı elektrolit sistemlerinin KOYP'lerinin üretimi gibi birçok endüstriyel uygulamalarda kullanılabileceğini potansiyeli vardır.

## Characterization and Comparison of Phase Stability, Electrical and Thermal Properties of Nano and Micro Structured $(\text{Bi}_2\text{O}_3)_{1-x-y}(\text{Sm}_2\text{O}_3)_x(\text{Ho}_2\text{O}_3)_y$ Electrolyte Systems Synthesized for Solid Oxide Fuel Cells

### Keywords

Solid state reaction method,  
Solid oxide fuel cell (SOFC),  
Solid ceramic electrolyte,  
Electrical conductivity,  
Activation energy

**Abstract:** In this study,  $\text{Bi}_2\text{O}_3$  ternary system nano and micro structured samples were synthesized exploiting solid-state reaction sintering each of them. Structural properties of these electrolyte samples for solid oxide fuel cells (SOFCs) have been evaluated by means of X-Ray Diffraction (XRD), Differential Thermal Analysis-Thermo Gravimetry (DTA - TG). Surface properties of the synthesized samples evaluated by Scanning Electron Microscope (SEM). Electrical properties have been evaluated by four-probe method. The result of XRD measurements were indicated that the nano and micro  $(\text{Bi}_2\text{O}_3)_{1-x-y}(\text{Sm}_2\text{O}_3)_x(\text{Ho}_2\text{O}_3)_y$  ( $x=10, 15, y=5, 20$ ) samples crystallographic structures have face centered cubic  $\delta$ -phase. The stability of phase was also checked and compared with the DTA measurements results which showed lots of samples have stable  $\delta$ -phase of  $\text{Bi}_2\text{O}_3$ . The temperature dependent electrical ionic conductivity measurements indicated that the highest electrical ionic conductivity has been observed for nano- $(\text{Bi}_2\text{O}_3)_{0.65}(\text{Sm}_2\text{O}_3)_{0.15}(\text{Ho}_2\text{O}_3)_{0.20}$  system is  $5.78 \times 10^{-2}$  ( $\Omega \cdot \text{cm}$ )<sup>-1</sup> at  $700^\circ\text{C}$  and micro- $(\text{Bi}_2\text{O}_3)_{0.70}(\text{Sm}_2\text{O}_3)_{0.10}(\text{Ho}_2\text{O}_3)_{0.20}$  system is  $7.40 \times 10^{-3}$  ( $\Omega \cdot \text{cm}$ )<sup>-1</sup> at  $700^\circ\text{C}$ . The activation energy was also computed from electrical conductivity results that the values for nano sized samples vary from 1.21 eV to 0.49 eV and micro sized samples vary from 1.51 eV to 0.90 eV. The solid electrolyte systems we have synthesized in this study have potential for use in diverse industrial applications such as SOFCs.

## 1. Giriş

Elektrik üretim sistemleri, yakıtın toplam enerjisinden elektrik enerjisi elde etmek için yanma reaksiyonunu kullanır. Oksijenin tam olarak yakıtla karışması faydalı ve verimli bir şekilde yanma reaksiyonu için gereklidir. Elektrik enerjisi üretimi için belirli aşamalardan geçilmesi gereklidir. İlk olarak yakıtın oksijenle yanması ile ısı enerjisi elde edilir. Sonraki adımda üretilmiş olan ve yanma sonucu ortaya çıkan ısı enerjisi mekanik enerjiye dönüştürülür. Daha sonra bu mekanik enerji farklı yöntemlerle elektrik enerjisine dönüştürülür fakat bu enerji dönüşümleri sırasında bir miktar enerji kaybolmaktadır. Özellikle ısından mekanik enerji elde edilmesi sırasında çok fazla enerji kaybı yaşanmaktadır. Yakıt pilleri ise yakıtın enerjisini doğrudan doğruya elektrokimyasal reaksiyon yolu ile elektrik enerjisine dönüştürür. Dışarıdan beslenen hidrojen, doğal gaz, metan gazı yakıtlı (anot tarafı) ve oksitleyici olan (katot tarafı) ile elektrolit/elektrot ünitesinde reaksiyona girerek, elektrik üretilir. Yakıt hücreleri, oksitleyici akışı ve gerekli yakıt sağlandığı zaman devamlı olarak elektrik üretebilirler [1-3].

Yakıt pilleri klasik sistemlerin aksine yukarıda özetlenen enerji dönüşüm aşamalarına ihtiyaç duymadan yakıttaki kimyasal enerjiyi elektrokimyasal reaksiyon yolu ile % 70'ler gibi çok yüksek verimle doğrudan doğruya elektrik enerjisine dönüştürebilirler [4]. Bu dönüşüm sırasında hiçbir çevre kirliliğine neden olmadan yakıt olarak hidrojen kullanıldığında atık olarak yalnızca su ortaya çıkararak çevreye duyarlı bir şekilde elektrik enerjisi üretilir. Fosil yakıt kullanılan yakıt pili çeşitlerinde bile ortaya çıkan zehirli gazlar klasik sistemlerin aksine çok daha azdır. Yakıt pillerinin diğer sistemlere göre bir başka önemli özelliği de mekanik çalışan bir parçası bulunmaması nedeniyle neredeyse hiç gürültü kirliliğine sebep olmadan gürültüsüz çalışmalarıdır. Mekanik olarak çalışan bir aksam olmayışının bir diğer avantajı ise yıpranma ve aşınım gibi devamlı tekrarlayabilecek sorunların önüne geçmiş olunmaktadır. Yakıt pilleri genel olarak anot, katot ve elektrolit tabakalarından meydana gelen çok basit bir yapıya sahip dayanıklı ve pek çok alanda kullanılmış bir sistemdir. Kullandığı yakıtın cinsine göre anot tarafından yakıt ile beslendiği, katot tarafından oksitleyici akış hava ile teması ile devam ettiği sürece bakıma gereksinim duymadan sürekli olarak kullanılabilir elektrik enerjisi üretebilme kapasitesine sahiptirler.

Yakıt pilleri türlerinden özellikle, katı oksit yakıt pilleri çok daha yüksek elektriksel verimlilik, yakıt esnekliği/çeşitliliği, elektrolit tabakası katı olması ile sızdırma gibi problemleri olmayışı ve minimum çevresel etkilerinden dolayı alternatif elektrik güç oluşum sistemleridir [5, 6]. Bir elektrokimyasal hücrenin en önemli bileşenlerinden biri, iki elektrot (anot ve katot) ayıran iyon iletken zarı elektrolittir. Katı oksit elektrolitler; kısmi oksijen basıncı, geniş

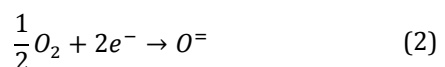
sıcaklık aralığında mekaniksel ve termodynamik kararlılık, az derecede elektronik iletkenlik ve hızlı iyon transferi içeren pek çok gereksinimlere cevap vermelidir [7].

Kullanılan elektrolitin farklılığına göre beş farklı yakıt pili vardır:

1. Fosforik asit yakıt pili (FAYP)
2. Alkali yakıt pili (AYP)
3. Eriyik karbonat yakıt pili (EKYP)
4. Polimer elektrolit membran yakıt pili (PEMYP)
5. Katı oksit yakıt pili (KOYP, SOFC)

Katı oksit yakıt pilleri (KOYP), genellikle büyük güç üretim sistemlerinde, kojenerasyon, ticari ve sanayi uygulamalarda kullanılan yakıt pili türüdür. Katı oksit yakıt pillerde enerji oluşumu katı elektrokimyasal piller vasıtıyla gerçekleşir. Sistem, oksijen iyonlarının katı elektrolit içerisinde hareketli (mobil) olmasına ve hareketi esnasında da elektriksel yükün taşınmasına dayalı bir sistem olup, bu hareket sayesinde de elektrotun bir kutbu ile diğer kutbu (katot ile anot elektrotlar arasında) arasında elektriksel potansiyel fark oluşabilmektedir. Kisaca, oksijen iyonu elektriksel iletkenliğinden dolayı bir elektrokimyasal enerji üretimi gerçekleşebilmektedir.

Katı oksit yakıt pilleri çalışma mekanizması şu şekildedir; anot elektrotuna gönderilen  $\text{H}_2$  katı elektrolitin yapısında bulunan  $\text{O}^{2-}$  iyonları ile reaksiyona girerek su buharı ve elektron açığa çıkmaktadır. Elektronlar dış devreyi dolaşarak katot elektrotuna ulaşır. Elektronları dış devredeki hareketleri ile enerji üretimi sağlanmaktadır. Bu elektronlar katot elektrotuna gönderilen  $\text{O}_2$  gazı ile reaksiyona girerek  $\text{O}^{2-}$  iyonlarına dönüşürler. Oluşan bu iyonlar katı elektrolitten geçer ve anoda ulaşırlar. Katı elektrolitten oksit iyonlarının hareketleri söyle gerçekleşir; katı oksit yakıt pillerde kullanılan katı elektrolitin yapısında oksijen boşlukları bulunur. Oksit iyonları bu boşluklardan sıcaklığın etkisi ile hareket ederler ve anot elektrolitine ulaşırlar. Yakıt olarak hidrojenin ve oksitleyici gazların (hava) ile sürekli gönderilmesi ile elektrik enerjisi üretimi sağlanmış olur. Kisaca aşağıdaki reaksiyonlar (1) ve (3) anot'ta, (2) katot'ta gerçekleşmiş olur.



Yakıt pillerinin en önemli bileşeni elektrolit tabakasıdır. Bu yüzden çalışmalarında katı oksit elektrolitler üzerine yoğunlaşmıştır. Araştırmacılar verimi, iletkenliği ve kararlılığı daha yüksek katı seramik elektrolitlerin üretimine yönelmiştir.  $\text{Bi}_2\text{O}_3$  iyonik yarıçapı daha düşük oksitli elementlerle yaptığı bileşiklerle kararlılık, elektriksel iletkenlik ve geçirgenlik bakımından ilgi çekici özelliklere sahiptir.

Bu ilginç özellikleri sebebi ile sanayide katı seramik elektrotlitlerin sentezlenmesinde temel madde olarak, katı oksit yakıt pillerde kullanılmaktadırlar [8-11].

$\text{Bi}_2\text{O}_3$  tabanlı ve katkılı katı seramik elektrotlitlerin en dikkat çekici özelliği çok yüksek iyonik iletkenlik göstergeleridir. Bu yüzden  $\text{Bi}_2\text{O}_3$  tabanlı katı seramik elektrotlitler oldukça geniş teknolojik, bilimsel ve endüstriyel uygulama alanlarına sahiptirler. Şimdiye kadar yapılan çalışmalarda yakıt pillerinin düşük sıcaklıklarda yüksek verimle çalışması ve daha yüksek iyonik iletkenlik özellikte olan katı seramik elektrotlitlerin farklı metodlarla sentezlenmesi ve karakterize edilmesi üzerine yoğunlaşmıştır [8-13].  $\text{Bi}_2\text{O}_3$  bileşiginin altı tane fazı vardır; yüzey merkezli kübik faz (fcc) ( $\delta$ -  $\text{Bi}_2\text{O}_3$ ), monoklinik faz ( $\alpha$ -  $\text{Bi}_2\text{O}_3$ ), tetragonal faz ( $\beta$ -  $\text{Bi}_2\text{O}_3$ ), iç merkezli kübik faz (bcc) ( $\gamma$ -  $\text{Bi}_2\text{O}_3$ ), triklinik fazdır ( $\omega$ -  $\text{Bi}_2\text{O}_3$ ) ve ortorombik faz ( $\varepsilon$ -  $\text{Bi}_2\text{O}_3$ ) [8-10,14]. Saf  $\text{Bi}_2\text{O}_3$  düşük sıcaklıklarda kararlı olan  $\alpha$ - $\text{Bi}_2\text{O}_3$  fazıdır.  $\delta$ -fazı ise çok yüksek sıcaklıklarda görülen kararlı fazdır.  $\beta$  ve  $\gamma$  fazları ise yarı kararlı fazlardır. Saf  $\text{Bi}_2\text{O}_3$  içerisinde iyonik yarıçapı  $\text{Bi}_2\text{O}_3$ 'den küçük bazı oksit bileşiklerin farklı metodlarla ile katkılanmasıyla yarı kararlı fazlar ve özellikle çok yüksek iyonik iletkenlik veren yüksek sıcaklık karalı fazı ( $\delta$ -fazı) oda sıcaklığında bile kararlı hale getirilebilmektedir [14-15]. En iyi bilgimiz dâhilinde, şu ana kadar nano ve mikro boyutlu malzemeler kullanılarak  $\text{Bi}_2\text{O}_3$  tabanlı,  $\text{Sm}_2\text{O}_3$  ve  $\text{Ho}_2\text{O}_3$  katkılı örneklerin incelenmesi yapılmamıştır. Bu çalışmanın amacı nano ve mikro boyutlu  $(\text{Bi}_2\text{O}_3)_{1-x-y}(\text{Sm}_2\text{O}_3)_x(\text{Ho}_2\text{O}_3)_y$  sistemlerinin sentezlenmesi ve kristal yapısını, termal, iletkenlik, yüzey özelliklerini incelemek ve karşılaştırmaktır.

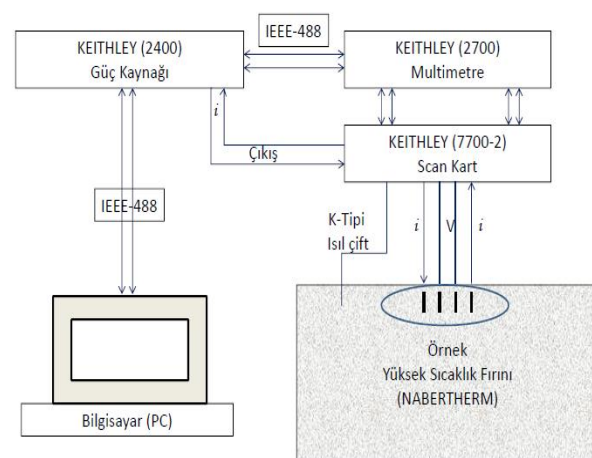
## 2. Materyal ve Metot

Farklı sitokiyometrik aralıkta mikro ve nano boyutlu toz numuneler  $\text{Bi}_2\text{O}_3$  (99.99% saflikta, Sigma Aldrich),  $\text{Sm}_2\text{O}_3$  (99.99% saflikta, Sigma Aldrich) ve  $\text{Ho}_2\text{O}_3$  (99.99% saflikta, Sigma Aldrich) kullanılmıştır.  $(\text{Bi}_2\text{O}_3)_{1-x-y}(\text{Sm}_2\text{O}_3)_x(\text{Ho}_2\text{O}_3)_y$  sistemleri ( $x=10, 15$  mol %,  $y=5, 20$  mol %) sitokiyometrik aralıkta nano ve mikro boyutlu tozlar katı-hal reaksiyonu kullanılarak sentezlenmiştir. Farklı sitokiyometrik aralıkta sentezlenen toz karışım haldeki numuneler iletkenlik ölçümü için preslenerek palet halinde katı elektrotlit oluşturuldu. Soğuk pres işlemi Specac marka soğuk pres ile 1,3 cm çaplı palet numuneler ve 7-8 ton basınç ile 20 dakika preslenerek üretildi. Paletler hazırlanıktan sonra 750 °C'de ıslı işlem ile 24 saat kalsine edilerek içerisindeki safsızlıklardan arındırıldı daha sonra 700 °C sıcaklıkta 100 saat kalsine edildi. Kalsinasyon işlemi sonunda örnekler seramik yapıda olduğu gözlandı.

Üretilen numunelerin faz yapısı Bruker AXS D8 Advance model XRD cihazı ile Cu-K $\alpha$  kaynağı kullanılarak incelenmiştir. Faz dönüşüm sıcaklığını tespit edebilmek için Diferansiyel Termal Analiz ölçümlü (DTA) termal kararlılığı ve termal özelliklerini

araştırmak için Perkin Elmer- Diamond analiz cihazı ile ısınma ve soğuma olarak her 10 °C/dakika 'da bir ölçüldü. XRD sonuçları ile DTA sonuçları mikro ve nano yapılar için ölçülmüş ve karşılaştırmıştır.

Sıcaklığa bağlı elektriksel ölçümü 4 nokta metodu ile Şekil 1.'de tasarlanan model ile ölçüldü. Elektriksel iletkenlik her 15 °C'de bir oda sıcaklığından 1100 °C'ye kadar ölçülecek yapıldı. Elektriksel iletkenlik ölçümü ile elektriksel iletkenliğin türü ve elektriksel iletkenliğin mekanizması araştırıldı. Elektriksel iletkenlik sonuçları XRD desenleri ve DTA eğrileri ile ve ayrıca nano ve mikro yapıdaki örneklerin sonuçları ile ayrı ayrı hesaplanarak karşılaştırmıştır.



Şekil 1. Elektriksel iletkenlik için tasarladığımız 4 nokta metodu cihazı bileşenleri

## 3. Bulgular ve Tartışma

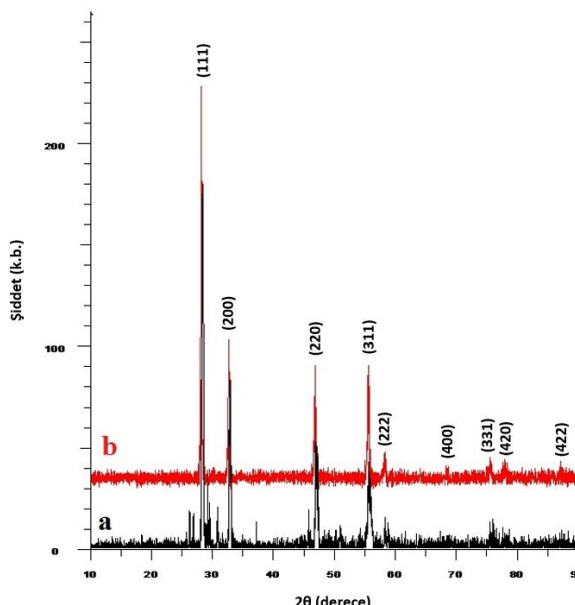
$(\text{Bi}_2\text{O}_3)_{1-x-y}(\text{Sm}_2\text{O}_3)_x(\text{Ho}_2\text{O}_3)_y$  ( $x = \% 15$  mol ve  $y = \% 20$  mol) örneği için elektriksel iletkenlik ölçümünden sonra (ısınma ve soğuma uygulandıktan sonra) alınan XRD desenleri Şekil 2.'de görülmektedir. XRD desenlerinden  $x = \% 10,15$  mol  $\text{Sm}_2\text{O}_3$  ve  $y = \% 5, 20$  mol  $\text{Ho}_2\text{O}_3$  katkılı örnekler  $\delta$ - $\text{Bi}_2\text{O}_3$  fazına sahip olduğu görülmüştür. Fakat bu numunelerden  $x = \% 15$  mol  $\text{Sm}_2\text{O}_3$  ve  $y = \% 5$  mol  $\text{Ho}_2\text{O}_3$  katkılı örnek  $\delta$ - $\text{Bi}_2\text{O}_3$  yanında  $\alpha$ - $\text{Bi}_2\text{O}_3$  fazının piklerini de içerdiği görülmektedir. Nano boyutlu oksitli katkılı örneklerin hepsi  $\delta$ - $\text{Bi}_2\text{O}_3$  (en yüksek elektriksel iletkenlik veren) fazlı yüzey merkezli kübik kristalografik yapıda olduğunu görüldü. Şekil 2.(a)'da görüldüğü gibi  $x = \% 15$  mol  $\text{Sm}_2\text{O}_3$  ve  $y = \% 5$  mol  $\text{Ho}_2\text{O}_3$  katkılı numune katı hal reaksiyonu sonunda  $\delta$ - $\text{Bi}_2\text{O}_3$  yanında  $\alpha$ - $\text{Bi}_2\text{O}_3$  fazının piklerinde içeriği görülmektedir. Fakat Şekil 2.(b)'de görüldüğü gibi ısınma ve soğuma uygulanan numunelerin katkısız  $\delta$ - $\text{Bi}_2\text{O}_3$  fazına dönüştüğü görülmektedir. Katkısız kararlı  $\delta$ - $\text{Bi}_2\text{O}_3$  örneğin faz yansıma pikleri  $2\theta=27,718^\circ$  (111),  $32,103^\circ$  (200),  $46,180^\circ$  (220),  $54,900^\circ$  (311),  $57,491^\circ$  (222),  $67,654^\circ$  (400),  $74,550^\circ$  (331),  $77,140^\circ$  (420) ve  $85,997^\circ$  (422)'dir. JCPDS kart numarası 040-0320'dir.

**Tablo 1.** Mikro boyutlu başlangıç numuneleri kullanıldığı durum için katkı oranları, faz türü, elektriksel iletkenlik, aktivasyon enerjisi.

Örnek	Mikro-Sm <sub>2</sub> O <sub>3</sub> (x=% mol)	Mikro-Ho <sub>2</sub> O <sub>3</sub> (y=% mol)	Mikro-Bi <sub>2</sub> O <sub>3</sub> (1-x-y=% mol)	Faz Türü	Elektriksel İletkenlik $700^\circ\text{C}(\Omega.\text{cm})^{-1}$	Aktivasyon Enerjisi (eV)	
	DS	YS					
C1	10	5	85	$\alpha+\delta$	$6,38 \times 10^{-3}$	1,50	1,18
C2	10	20	70	$\delta$	$7,40 \times 10^{-3}$	1,00	0,93
C3	15	5	80	$\delta$	$6,55 \times 10^{-3}$	1,04	0,89
C4	15	20	65	$\delta$	$4,40 \times 10^{-3}$	1,05	0,91

**Tablo 2.** Nano boyutlu başlangıç numuneleri kullanıldığı durum için katkı oranları, faz türü, elektriksel iletkenlik, aktivasyon enerjisi.

Örnek	Mikro-Sm <sub>2</sub> O <sub>3</sub> (x=% mol)	Mikro-Ho <sub>2</sub> O <sub>3</sub> (y=% mol)	Mikro-Bi <sub>2</sub> O <sub>3</sub> (1-x-y=% mol)	Faz Türü	Elektriksel İletkenlik $700^\circ\text{C}(\Omega.\text{cm})^{-1}$	Aktivasyon Enerjisi (eV)	
	DS	YS					
N1	10	5	85	$\delta$	$1,59 \times 10^{-2}$	1,00	0,49
N2	10	20	70	$\delta$	$2,93 \times 10^{-2}$	1,18	0,66
N3	15	5	80	$\delta$	$2,87 \times 10^{-2}$	1,24	1,09
N4	15	20	65	$\delta$	$5,78 \times 10^{-2}$	1,15	0,58



**Şekil 2.** Bi<sub>2</sub>O<sub>3</sub> içeresine x=% 15 mol Sm<sub>2</sub>O<sub>3</sub> y=% 20 mol Ho<sub>2</sub>O<sub>3</sub> katkılı örnek (C4) için XRD desenleri a) Elektriksel iletkenlik ölçümünden önce b) Elektriksel iletkenlik ölçümünden sonra.

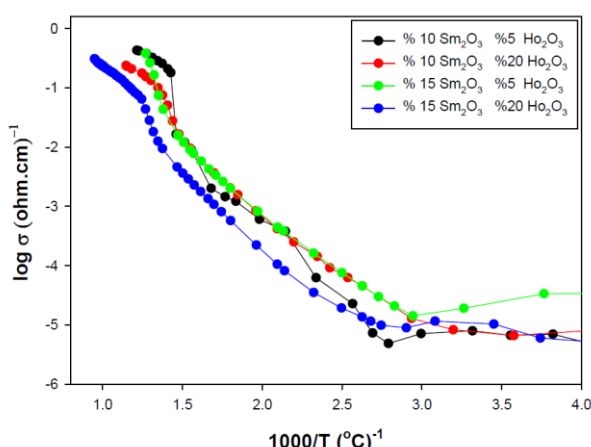
(Bi<sub>2</sub>O<sub>3</sub>)<sub>1-x-y</sub>(Sm<sub>2</sub>O<sub>3</sub>)<sub>x</sub>(Ho<sub>2</sub>O<sub>3</sub>)<sub>y</sub> üçlü sistemi için sıcaklıkla bağlı elektriksel iletkenlik ölçümleri 4 nokta metodu ölçüm sistemi ile yapılarak Şekil.3'de gösterilmiştir. Şekil 3.'de logaritmik iletkenliğin 1000/T (°C)'ye karşı grafiği literatüre uygun olarak verilmiştir. Elektriksel iletkenlik ölçümü daire şeklindeki palet örneklerle ölçüm boyunca oda sıcaklığından erime noktasının tam altındaki sıcaklığa kadar her 15 °C'de bir uygulanarak tamamlanmıştır. Şekil.3'de mikro yapıyı x=% 10, 15 mol Sm<sub>2</sub>O<sub>3</sub>; y=% 5, 20 mol Ho<sub>2</sub>O<sub>3</sub> katkılı 750 °C'de normal ortamda 100 saat kalsına edilen örnekler görülmektedir. En yüksek iletkenlik değeri x=% 10 mol Sm<sub>2</sub>O<sub>3</sub> ve y=% 5 mol Ho<sub>2</sub>O<sub>3</sub> örneği için 950 °C'de  $3.02 \times 10^{-1}$  ( $\Omega \text{ cm}$ )<sup>-1</sup>'dir. Ayrıca elektriksel iletkenlik sonuçları daha kolay karşılaştırılabilmesi için 700 °C 'de Tablo 1.'de gösterilmiştir.

Şekil 4.'de nano yapıdaki x=% 10, 15 mol Sm<sub>2</sub>O<sub>3</sub>; y=% 5, 20 mol Ho<sub>2</sub>O<sub>3</sub> katkılı 750 °C'de normal ortamda 100 saat kalsına edilen örnekler görülmektedir. En yüksek iletkenlik değeri x=% 10 mol Sm<sub>2</sub>O<sub>3</sub> ve y=% 20 mol Ho<sub>2</sub>O<sub>3</sub> örneği için 1000 °C 'de  $8.13 \times 10^{-1}$  ( $\Omega \text{ cm}$ )<sup>-1</sup>'dir. Ayrıca nano yapıdaki örneklerin sonuçları elektriksel iletkenlik sonuçlarının daha kolay karşılaştırılabilmesi için 700 °C 'de Tablo 2.'de gösterilmiştir. Elektriksel iletkenlik karşılaştırma sonuçlarından görüldüğü üzere mikro yapıdaki numuneler nano yapıdaki numunelere göre daha düşük elektriksel iletkenlik değeri verdiği görülmektedir.

Üçlü örneklerin aktivasyon enerjisi Arrhenius formülü ile hesaplanmaktadır. Sıcaklıkla bağlı elektriksel iletkenlik ölçümleri seramik malzemelerin elektriksel iletkenliğinin Arrhenius formülü ile yönetileceğini göstermiştir. Arrhenius formülü;

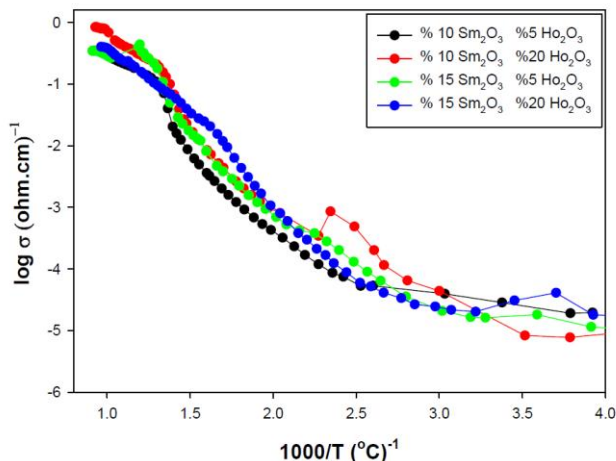
$$\sigma = \sigma_0 \exp(-E_a/k_B T) \quad (4)$$

burada E<sub>a</sub> aktivasyon enerjisini, σ<sub>0</sub> ön-üssel faktör, T Kelvin cinsinden sıcaklık ve k<sub>B</sub> Boltzmann sabitidir. (Bi<sub>2</sub>O<sub>3</sub>)<sub>1-x-y</sub>(Sm<sub>2</sub>O<sub>3</sub>)<sub>x</sub>(Ho<sub>2</sub>O<sub>3</sub>)<sub>y</sub> üçlü sistemi x=% 10 mol



**Şekil 3.** Mikro yapıdaki x=% 10 mol Sm<sub>2</sub>O<sub>3</sub> y=% 5 mol Ho<sub>2</sub>O<sub>3</sub> (C1), x=% 10 mol Sm<sub>2</sub>O<sub>3</sub> y=% 20 mol Ho<sub>2</sub>O<sub>3</sub> (C2), x=% 15 mol Sm<sub>2</sub>O<sub>3</sub> y=% 5 mol Ho<sub>2</sub>O<sub>3</sub> (C3), x=% 15 mol Sm<sub>2</sub>O<sub>3</sub> y=% 20 mol Ho<sub>2</sub>O<sub>3</sub> (C4) örnekleri için sıcaklıkla bağlı toplam elektriksel iletkenlik (σ<sub>T</sub>).

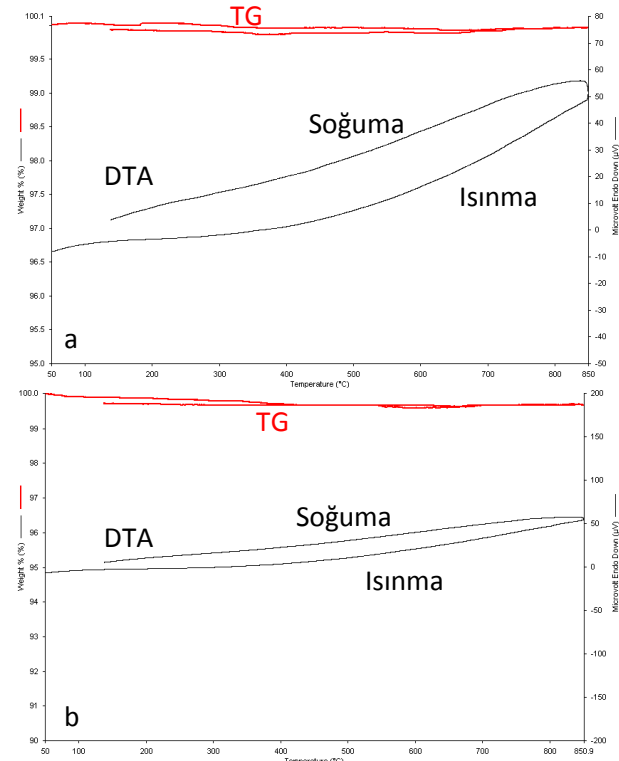
$\text{Sm}_2\text{O}_3$  ve  $y=5$ , 20 mol  $\text{Ho}_2\text{O}_3$  için ve  $x=15$  mol  $\text{Sm}_2\text{O}_3$  ve  $y=5$ , 20 mol  $\text{Ho}_2\text{O}_3$  için nano ve mikro boyutlu sistemler için hesaplanan aktivasyon enerjisi sonuçları karşılaştırmak için Tablo 1'de ve Tablo 2'de verilmiştir. Tablo 1'de hesaplanan aktivasyon enerji sonuçlarından  $x=10$  mol  $\text{Sm}_2\text{O}_3$  ve  $y=5$ , 20 mol  $\text{Ho}_2\text{O}_3$  katkılı örnekler için yüksek sıcaklık-YS (650 °C'den yüksek) aktivasyon enerjisi mol oranı arttıkça azalmaktadır. Fakat  $x=15$  mol  $\text{Sm}_2\text{O}_3$  ve  $y=5$ , 20 mol  $\text{Ho}_2\text{O}_3$  katkılı örnekler için yüksek sıcaklık aktivasyon enerjisi mol oranı arttıkça artmaktadır. Tablo 1'deki bir diğer sonuç ise, düşük sıcaklık-DS (350 °C - 650 °C) aktivasyon enerjisi için, yüksek sıcaklıkta gözlenen azalma ve artma aynen gözlenmektedir. Tablo 2.'den Nano boyutlu  $x=10$  mol  $\text{Sm}_2\text{O}_3$  ve  $y=5$ , 20 mol  $\text{Ho}_2\text{O}_3$  düşük sıcaklık ve yüksek sıcaklık aktivasyon enerjileri sabit  $x=10$  mol of  $\text{Sm}_2\text{O}_3$  örneği için artmaktadır. Fakat sabit  $x=15$  mol  $\text{Sm}_2\text{O}_3$  örneği için azalmaktadır. Nano yapıları örneklerde genellikle yüksek elektriksel iletkenliğe sahip olmasından dolayı daha düşük aktivasyon enerjisi gözlenmiştir.



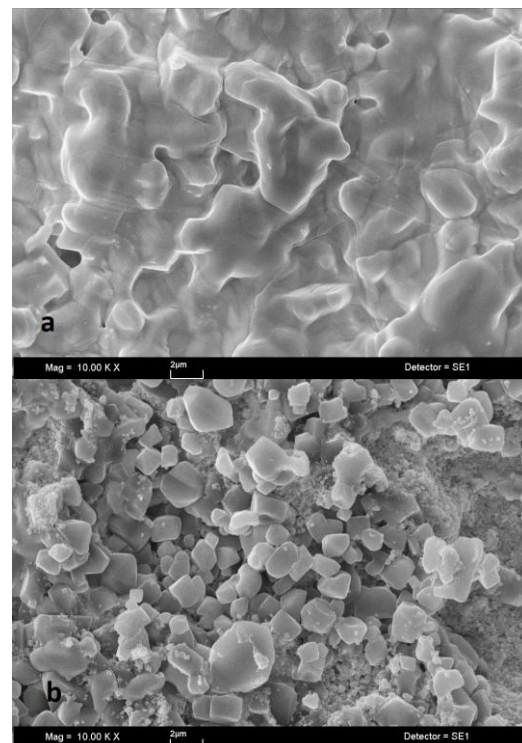
Şekil 4. Nano yapıdaki  $x=10$  mol  $\text{Sm}_2\text{O}_3$   $y=5$  mol  $\text{Ho}_2\text{O}_3$  (N1),  $x=10$  mol  $\text{Sm}_2\text{O}_3$   $y=20$  mol  $\text{Ho}_2\text{O}_3$  (N2),  $x=15$  mol  $\text{Sm}_2\text{O}_3$   $y=5$  mol  $\text{Ho}_2\text{O}_3$  (N3),  $x=15$  mol  $\text{Sm}_2\text{O}_3$   $y=20$  mol  $\text{Ho}_2\text{O}_3$  (N4) örnekleri için sıcaklığa bağlı toplam elektriksel iletkenlik ( $\sigma_T$ ).

$(\text{Bi}_2\text{O}_3)_{0.85}(\text{Sm}_2\text{O}_3)_{0.15}(\text{Ho}_2\text{O}_3)_{0.20}$  (C4) numunesi için Diferansiyel termal analiz (DTA) ve termo ağırlık ölçer (TG) eğrileri siyah ve kırmızı renkli eğrilerle sırasıyla Şekil 5.'de gösterilmiştir. Diğer numunelerin DTA/TG eğrileri benzer davranış gösterdiğinden Şekil 5.'de sadece C4 numunesinin eğrileri gösterilmiştir. TG eğrisi (kırmızı eğri) ölçüm boyunca sistemde meydana gelen kütle kaybını göstermektedir. TG eğrileri yüzde 0,1 gibi önemsenmeyecek bir kütle kaybını işaret ettiği için sistem ölçüm işlemi sonunda kendi kararlı yapısını koruduğu açıkça görülmektedir. Şekil 5.(a)'da DTA (siyah eğri)'den 50 °C'den  $\text{Bi}_2\text{O}_3$ 'un erime sıcaklığına kadar olan sıcaklık aralığında sistemde ne bir ekzotermik ne de bir endotermik reaksiyon görülmemiği için sistem kararlı yapısını bozmadığı açıkça anlaşılmaktadır. Bu kararlı halin fiziksel anlamı ise ikili katkılama ile  $\delta\text{-Bi}_2\text{O}_3$  fazı oda

sıcaklığında bile kararlı halini korumuştur. Şekil 5.(b) ise aynı sisteme elektriksel iletkenlik ölçümü alındıktan sonraki DTA/TG eğrileri gösterilmiştir. Şekil 5.(b)'de ise yine sisteme ne endotermik nede ekzotermik herhangi bir pik gözlenmemiştir. Böylece sistem kararlı halini düşük ve yüksek sıcaklıklarda göstermiştir.



Şekil 5.  $(\text{Bi}_2\text{O}_3)_{0.65}(\text{Sm}_2\text{O}_3)_{0.15}(\text{Ho}_2\text{O}_3)_{0.20}$  (C4) örneği için DTA/TG eğrileri a) Elektriksel iletkenlik ölçümünden önce b) Elektriksel iletkenlik ölçümünden sonra



Şekil 6. SEM görüntülerleri a)  $(\text{Bi}_2\text{O}_3)_{0.65}(\text{Sm}_2\text{O}_3)_{0.10}(\text{Ho}_2\text{O}_3)_{0.20}$  (C2) örneği için b) Nano- $(\text{Bi}_2\text{O}_3)_{0.65}(\text{Sm}_2\text{O}_3)_{0.10}(\text{Ho}_2\text{O}_3)_{0.20}$  (N2) örneği için.

Üretilen katı seramik elektrotlitlerin yüzey özellikleri Taramalı Elektron Mikroskopu (SEM) kullanılarak incelenmiştir. Mikro yapıda - (C2)  $(\text{Bi}_2\text{O}_3)_{0.65}(\text{Sm}_2\text{O}_3)_{0.10}(\text{Ho}_2\text{O}_3)_{0.20}$  numunesi Şekil 6.(a)'da, Nano yapıda - (N2)  $(\text{Bi}_2\text{O}_3)_{0.65}(\text{Sm}_2\text{O}_3)_{0.10}(\text{Ho}_2\text{O}_3)_{0.20}$  numunesi Şekil 6.(a)'da gösterilmiştir. SEM görüntüleri üçlü sistemin yüzey özelliklerini, yüzey pürüzlülüğünü ve yapısı hakkında önemli bilgiler vermektedir. Şekil 6.'da tanecik boyutları ve tanecik sınırları açıkça görülebilmektedir. Şekil 6.b'de daha küçük boyutlu tanecikler görülmektedir. Bu sonuçlar XRD sonuçları ile uyum içindedir.

#### 4. Sonuç

$(\text{Bi}_2\text{O}_3)_{1-x-y}(\text{Sm}_2\text{O}_3)_x(\text{Ho}_2\text{O}_3)_y$  ( $x=10, 15 \%$  mol,  $y=5, 20 \%$  mol) üçlü sistem materyalleri nano ve mikro yapıda katı hal reaksiyonu metodu ile ısıl işlemle ( $750^\circ\text{C}$ 'de 100 saat) sentezlendi. KOYP'nin en önemli bileşeni olan elektrolit tabakası için üretilen bu katı ve geçirgen yapıdaki seramik elektrotlitlerin yapısal özellikleri X-Işınları Difraktometresi (XRD), Diferansiyel Termal Analiz - Termo ağırlık ölçer (DTA-TG) ve Taramalı Elektron Mikroskopu (SEM) ile karakterize edilerek önemli bulgular elde edilmiştir. Nano boyutlu başlangıç numuneleri kullanıldığı durum için daha kararlı yapı ve yüksek elektriksel iletkenlik göstermiştir. Elektriksel özellikleri ise çalışmada şema halinde verilen dört nokta elektriksel iletkenlik cihazı ile ölçüldü. Nano ve mikro yapıdaki katı seramik elektrotlitlerin özellikleri karşılaştırıldı. XRD ölçümleri sonuçları, nano ve mikro  $(\text{Bi}_2\text{O}_3)_{1-x-y}(\text{Sm}_2\text{O}_3)_x(\text{Ho}_2\text{O}_3)_y$  ( $x=10, 15, y=5, 20$ ) örneklerinin  $\delta$ -fazlı yüzey merkezli kübik kristalografi yapıda olduğunu göstermiştir. Fakat mikro- $(\text{Bi}_2\text{O}_3)_{0.85}(\text{Sm}_2\text{O}_3)_{0.10}(\text{Ho}_2\text{O}_3)_{0.05}$  yapısındakiörnekte  $\delta$ -fazına ek olarak  $\alpha$ -fazı da içerdeği görülmüştür. Faz kararlılığının tayini DTA ölçümleri ile yine kontrol ve karşılaştırılması yapılarak çoğu örneğin  $\text{Bi}_2\text{O}_3$ 'in kararlı  $\delta$ -fazına sahip olduğu gösterilmiştir. Sıcaklığa bağlı elektriksel iyonik iletkenlik ölçümleri sonucunda en yüksek elektriksel iletkenlik nano- $(\text{Bi}_2\text{O}_3)_{0.65}(\text{Sm}_2\text{O}_3)_{0.15}(\text{Ho}_2\text{O}_3)_{0.20}$  sistemi için  $700^\circ\text{C}$ 'de  $5.78 \times 10^{-2}$  ( $\Omega \cdot \text{cm}$ ) $^{-1}$ dir ve mikro- $(\text{Bi}_2\text{O}_3)_{0.70}(\text{Sm}_2\text{O}_3)_{0.10}(\text{Ho}_2\text{O}_3)_{0.20}$  sistemi için  $700^\circ\text{C}$ 'de  $7.40 \times 10^{-3}$  ( $\Omega \cdot \text{cm}$ ) $^{-1}$ dir. Aktivasyon enerjileri ise elektriksel iletkenlik ölçüm sonuçlarından elde edilerek nano boyutlu örnekler için 0,49 eV'tan 1,21 eV'a ve mikro boyutlu örnekler için 0,90 eV'tan 1,50 eV'a kadar değişmektedir.

Çalışmada sentezi gerçekleştirilen katı elektrolit sistemlerinin KOYP'lerinin elektrolit tabakasında ve birçok endüstriyel uygulamalarda kullanılabilecekleri öngörmektedir.

#### Kaynakça

- [1] Meibuhr, S.G. 1966. Review of United States fuel-cell patents issued from 1860 to 1947. *Electrochimica Acta*, 11(9), 1301-1308.
- [2] Fuel-cells. <http://www.doitpoms.ac.uk/tplib/fuel-cells/index.php> (Erişim Tarihi: 21.01.2007).
- [3] Eser, D. 2007. Polimer Elektrolit Membranlı Yakıt Pilleri İçin Katot Üretimi. İstanbul Teknik Üniversitesi, Fen Bilimleri Enstitüsü, Yüksek Lisans Tezi, 54s, İstanbul.
- [4] Çetinkaya, M., Karaosmanoglu, F. 2003. Yakıt Pilleri. Makine Mühendisleri Odası Bülteni, 11920, 18-30.
- [5] Yamamoto, O. 2000. Solid oxide fuel cells: fundamental aspects and prospects. *Electrochimica Acta*, 45, 2423-2435.
- [6] Steele, B.C.H. 2001. Materials for fuel-cell technologies. *Journal of Materials Science*, 36, 1053-1068.
- [7] Ma, Y., Wang, X., Raza, R., Muhammed, M., Zhu, B. 2010. Thermal stability study of SDC/Na<sub>2</sub>CO<sub>3</sub> nanocomposite electrolyte for low-temperature SOFCs. *International Journal of Hydrogen Energy*, 35(7), 2580-2585.
- [8] Polat, Y., Dağdemir, Y., Arı, M. 2016. Structural, thermal, electrical and morphological characterization of  $(\text{Bi}_2\text{O}_3)_{1-x-y}(\text{Sm}_2\text{O}_3)_x(\text{Yb}_2\text{O}_3)_y$  nanostructures prepared by solid state synthesis. *Current Applied Physics* 16, 1588-1596.
- [9] Polat, Y. , Akalan, H., Arı, M. 2017. Thermo-Electrical and Structural Properties of Gd<sub>2</sub>O<sub>3</sub> and Lu<sub>2</sub>O<sub>3</sub> Double-Doped Bi<sub>2</sub>O<sub>3</sub>. *International Journal of Hydrogen Energy* 42, 614-622.
- [10] Polat, Y. , Arı, M., Dağdemir, Y. 2017. Phase stability, thermal, electrical and structural properties of  $(\text{Bi}_2\text{O}_3)_{1-x-y}(\text{Sm}_2\text{O}_3)_x(\text{CeO}_2)_y$  electrolytes for solid oxide fuel cells. *Phase Transitions*, 90(4), 387-398.
- [11] Polat, Y. Nano-Bi<sub>2</sub>O<sub>3</sub>'e Sm<sub>2</sub>O<sub>3</sub>, CeO<sub>2</sub> ve Yb<sub>2</sub>O<sub>3</sub> Katkılarıarak Elektrolit Malzeme Sentezi ve Karakterizasyonu Erciyes Üniversitesi, Fen Bilimleri Enstitüsü, Doktora Tezi, 151s, Kayseri.
- [12] Beg, S., Al-Areqi, N.A.S., Ghaleb, Kh.A.S., Al-Alas, A., Hafeez, S., 2014. Effect of Ni(II) substitution on phase stabilization electrical properties of BiCo(III)VO<sub>4</sub>.20 oxide-ion conductor. *Philosophical Magazine* 94, 1661-1673.
- [13] Arabacı, A., Serin, Ö., Sarıboğa, V., Öksüzömer, M.F., 2016. Characterization of Sm and Nd Co-Doped Ceria-Based Electrolyte Materials. *Acta Physica Polonica A* 129, 524-527.
- [14] Watanabe, A., Sekita, M., 2005. Stabilized  $\delta$ -Bi<sub>2</sub>O<sub>3</sub> phase in the system Bi<sub>2</sub>O<sub>3</sub>-Er<sub>2</sub>O<sub>3</sub>-WO<sub>3</sub> and its oxide-ion conduction. *Solid State Ionics* 176, 2429-2436.
- [15] Dapčević, A., Poleti, D., Rogan, J., Radojković A., Radović, M., Branković, G., 2015. A new electrolyte based on Tm<sup>3+</sup>-doped  $\delta$ -Bi<sub>2</sub>O<sub>3</sub>-type phase with enhanced conductivity. *Solid State Ionics* 280, 18-23.